

مقایسه استحکام باند برشی Dual-Cure IPS-Empress2 و سه نوع سمان رزینی

دکتر حبیب حاجی‌میرآقا[†]- دکتر سعید نوکار*- دکتر زیارت‌علی نعمتی**- دکتر آزاده خاجوی***

* استادیار گروه آموزشی پروتزهای ثابت و اکلوژن دانشکده دندانپزشکی و عضو مرکز تحقیقات دانشگاه علوم پزشکی و خدمات بهداشتی درمانی تهران

* استادیار گروه مهندسی علم و مواد دانشکده متالوژی دانشگاه صنعتی شریف
*** دندانپزشک

Title: Comparative evaluation of shear bond strength, between IPS-Empress2 ceramics and three dual-cured resin cements

Authors: Hajimiragh H. Assistant Professor*, Nokar S. Assistant Professor*, Nemati Z. Assistant Professor**, Khajavi A. Dentist

Address:*Department of fixed Prosthodontics and Occlusion, Faculty of Dentistry, Tehran University of Medical Sciences

**Department of Martial Sciences and Engineering/Metallurgy, Sharif University of Technology

Background and Aim: Cementation is one of the most critical steps of the porcelain restoration technique. However, limited information is available concerning the bond strength of current ceramic bonding systems. The aim of this study was to evaluate the shear bond strength of three dual-cure resin cements to IPS-Empress2 ceramics.

Materials and Methods: In this experimental study, 30 pairs of IPS-Empress 2 ceramic discs were fabricated with 10 and 8 mm diameters and 2.5 mm thickness. After sandblasting and ultrasonic cleaning, the surfaces of all specimens were etched with 9% hydrofluoric acid for 60 seconds. Then, the three groups of 10 bonded specimens were prepared ceramic bonding resin systems including Panavia F2, Variolink II and Rely X ARC. After storage in $37\pm1^{\circ}\text{C}$ water for 24 hours and thermocycling in 5°C and 55°C water for 500 cycles with 1-minute dwell time, the shear bond strengths were determined using Instron machine at speed of 0.5mm/min. Data were analyzed by One Way ANOVA test. For multiple paired comparisons, the Tukey HSD method was used. The mode of failure was evaluated by scanning electro microscope (SEM). $P<0.05$ was considered as the limit of significance.

Result: Significant differences were found between different cement types ($P<0.05$). Variolink II provided the highest bonding values with IPS-Empress2. A combination of different modes of failure was observed.

Conclusion: Based on the results of this study, according to the highest mode of cohesive failure, Variolink II seems to have the strongest bond with IPS-Empress2 ceramics.

Key Words: Shear strength; Resin cement; Ceramic

چکیده

زمینه و هدف: مرحله سمان کردن یکی از مهمترین مراحل، در تکنیک تهیه ترمیمهای پرسلنی محسوب می‌شود؛ ولی اطلاعات محدودی در ارتباط با میزان استحکام باند سیستمهای رایج سرامیکی- به خصوص سرامیک‌های IPS-Empress2، در دسترس می‌باشد.

[†] مؤلف مسؤول: آدرس: تهران- خیابان انقلاب اسلامی- خیابان قدس- دانشگاه علوم پزشکی تهران- دانشکده دندانپزشکی- گروه آموزشی پروتزهای ثابت دندانی
تلفن: ۰۲۶۴۰۶۶۴۰ نشانی الکترونیک: h.miragha@yahoo.com

مطالعه حاضر با هدف تعیین میزان استحکام باند برشی میان سرامیک‌های IPS-Empress2 و سه نوع سمان رزینی Dual-Cure و مقایسه آنها با یکدیگر انجام شد.

روش بررسی: در این بررسی تجربی آزمایشگاهی، ۳۰ جفت بلوك سرامیکی از نوع IPS-Empress2 به شکل دیسک و به ضخامت ۲/۵ میلیمتر و قطرهای ۸ و ۱۰ میلیمتر آماده شدند. پس از سند بلاستینگ و پاکسازی اولتراسونیک، سطح کلیه نمونه‌ها توسط اسید هیدروفلوریک ۹٪ به مدت ۶۰ ثانیه اج شد؛ سپس در سه گروه ۱۰ تایی، توسط سه سیستم رزینی باندینگ سرامیک‌ها، شامل هیدروفلوریک Rely X ARC و Variolink II، Panavia F2 و ۳۷±۱ درجه سانتیگراد به مدت ۲۴ ساعت، عمل ترموسایکلینگ به تعداد ۵۰۰ سیکل، بین درجه حرارتیهای ۵ و ۵۵ درجه سانتیگراد، به مدت یک دقیقه در هر محیط، صورت گرفت. استحکام باند برشی بحسب مگاپاسکال، با کمک دستگاه Instron با سرعت ۰/۵ mm/min مقایسه دو به دو گروه‌ها به روش Tukey HSD انجام شد. اطلاعات موجود با استفاده از آزمون آماری One Way ANOVA مورد تجزیه و تحلیل قرار گرفت.

به عنوان سطح معنی‌داری در نظر گرفته شد.
 $P < 0.05$

یافته‌ها: اختلاف آماری معنی‌داری بین استحکام باند برشی انواع سمانها یافت شد ($P < 0.05$). سمان II دارای بیشترین میزان استحکام باند با مواد سرامیکی IPS-Empress2 بود؛ همچنین ترکیبی از انواع شکسته مشاهده گردید.

نتیجه‌گیری: براساس نتایج مطالعه حاضر، سمان II با بیشترین درصد وقوع شکست cohesive، دارای بیشترین استحکام باند با سرامیک‌های IPS-Empress2 بود.

کلید واژه‌ها: استحکام برشی؛ سمان رزینی؛ سرامیک

وصول: ۸۴/۰۳/۲۸ اصلاح نهایی: ۸۴/۰۸/۱۵ تأییدچاپ: ۸۴/۱۰/۱۹

مقدمه

به سمت بی‌نظمی‌های موجود در سطح داخلی ترمیمهای سرامیکی، موجب می‌شود، محل اتصال سرامیک، سیستم Adhesive و دندان، به صورت یک ترکیب واحد عمل کنند و این مسئله موجب انتقال هرچه مؤثرتر استرس‌ها از سرامیک به دندان و در نتیجه جلوگیری از تولید و گسترش ترک می‌شود (۱).

به همین دلیل مطابق با یافته‌های Groten و Probster استفاده از سیستم‌های باندینگ رزینی در چسباندن ترمیمهای تمام سرامیکی ضروری و حائز اهمیت است (۲).

دو عامل شکست (fracture) و debonding، از مشکلات اساسی در ترمیمهای سرامیکی محسوب می‌شوند (۳)، که با آمدن تعدادی از سرامیک‌های castable و heat-pressed IPS-Empress2 مانند دندانپزشکی زیبایی، به دلیل دارا بودن استحکام بالای فشاری

کامپوزیت رزین‌ها جهت باندینگ انواع ترمیمهای، از جمله روکشهای فلزی معمولی، پروتزهای FPD، کراون‌های سرامیکی، اینله‌ها، انله‌ها، ونیرها و همچنین ترمیم ترمیمهای فلزی و سرامیکی شکسته شده، به کار می‌روند (۴).

به دنبال پیشرفت‌های دندانپزشکی ترمیمی زیبایی، بهبود خواص مواد و سهولت کاربرد آنها و همچنین ابداع نسل جدیدی از سیستم‌های باندینگ سرامیکی، استفاده از مواد سرامیکی برای ترمیمهای قدامی و خلفی، افزایش یافته (۵)، و حساسیت بالای مراحل کار، موجب افزایش توجه بسیاری از محققان و دندانپزشکان نیز، شده است (۶).

براساس بسیاری از مطالعات، پیش روی عوامل باندینگ

* FPD: Fixed Partial Denture

بررسی شد.

روش بررسی

در این بررسی تجربی آزمایشگاهی، ۳۰ جفت بلوك سراميكى، از نوع ليتیوم دیسيلیکات IPS-Empress2 شکل ديسك و به ضخامت ۲/۵ ميليمتر و قطرهای ۸ و ۱۰ ميليمتر ساخته شدند.

پس از فرآيند سندبلاستينگ، توسط ذرات آلومينا (Al₂O₃) به قطر ۳۰-۲۰ ميكرون، در فشار هواي ۶۰psi کليه نمونهها به مدت ۳ دقيقه، تحت پاكسازی در محلول ايزوپروپانول ۹۶٪ در دستگاه اولتراسونيك، قرار گرفتند. مطابق با دستور کارخانه سازنده اسیدهيدروفلوريک ۹٪ به مدت ۶۰ ثانие اچ گردید. پس از شستشو توسط آب و خشک کردن، کليه نمونهها برای باند شدن، آماده گردید. سистемهای بانдинگ مورد استفاده شامل سه سیستم باندينگ رزینی Dual-Cure بود که براساس آن، نمونهها به صورت اتفاقی به ۳ گروه مساوی ۲۰ تایی تقسیم گردیده و دو به دو به يكديگر باند شدند (جدول ۱).

این گروهها شامل موارد زیر بود:

Monobond S/ Excite DSC/Variolink II (۱)

Rely X ARC Ceramic Primer/Single Bond/ (۲)

Rely X ARC Cement

Clearfil SE Bond Primer/ Clearfil Porcelain (۳)

Bond Activator/ Panavia F2

نمونههای هر گروه مطابق با دستور کارخانه تولید کننده، به silane و در صورت لزوم به bonding agent خود آغشته شده و هر دو قطعه ۸ و ۱۰ ميليمتر سراميكها، توسط luting cement خود، به يكديگر باند شدند.

(compressive) و خمشی (flexural) آنها، مشکل شکست کاهش یافت (۲)؛ ولی مشکل اساسی آنها (عدم کسب یک باند قوى و رضایتبخش با سیستمهای بانдинگ رزینی)، هنوز مطرح است (۲) که این نیاز دندانپزشکان را به برقراری سیستمهای باندينگ بادوامتری از سراميكهای castable، با حداقل ميكروليكيج در ترميمهای تمام سراميكى، خلفی و قدامی بيشتر می‌کند.

مطابق با یافته‌های موجود در مطالعات Eden و همكاران، Jensen و همكاران، Sorensen و همكاران و Burke، يک باند قوى، تأمین کننده عوامل زير می‌باشد (۶-۹):

۱-گير بالا ۲- تطابق مارژينالي بهبود یافته ۳- ممانعت از ميكروليكيج ۴- افزایش مقاومت در برابر شکست دندان و ترميم.

باند میان سراميك و دندان داراي دو interface می‌باشد، يکی میان کامپوزیت رزین و ساختار سراميك و دیگری، باند میان کامپوزیت رزین و ساختار دندان. از آن جا که، هم تکنسین دندانی و هم دندانپزشك روی interface میان سراميك و کامپوزیت رزین تأثيرگذار می‌باشند، درک صحيح و آماده سازی درست اين interface، توسط آنها، بزرگترین عامل در موقعيت طولاني مدت ترميمهای سراميكی محسوب می‌شود (۱۰).

مطابق با نتایج موجود در بسیاري از مطالعات، از آن جا که، نوع شکست بین سمان و سراميك در کامپوزیت cohesive رزین‌های باند شونده به سراميك اغلب از نوع adhesive (در سراميك يا رزین) است تا از نوع cohesive (۱۱)، با توجه به استحکام بالاي cohesive در سراميكهای IPS-Empress2 (۲)، در مطالعه حاضر، میزان استحکام باند بشري اين سراميك با سیستمهای سمان رزینی مختلف

جدول ۱ - مواد مورد استفاده در مطالعه مقایسه استحکام باند برشی میان سرامیک‌های IPS-Empress2 و سه نوع سمان رزینی Dual-Cure

شماره سریال	محصولات	کارخانه تولید کننده	ماده
F ۵۴۴۴۷	Monoband S		
F۵۵۶۰۲	Excite DSC		
Base E ۵۸۲۳۰	Variolink II	Ivoclar Vivadent, Schaan, Liechtenstein	Variolink II
Catalyst F۵۱۸۶۶	Cement		
۰۰۳۹ B	K Etchant Gel		
۰۰۱۱۵۸ B	CPB Activator		
۰۰۴۷۶ A	SE bond primer		
A ۰۰۷۷ A	Panavia F2 cement	Kuraray, Osaka, Japan	Panavia F2
B ۰۰۱۰ A			
۰۰۴۹۳ A	Oxygurd II		
۲۰۰۴۰۷۱۷	Rely X ARC ceramic primer		
۲۰۰۴۰۹۱۷	Single Bond	3M ESPE, St Paul, MN, USA	Rely X ARC
۲۰۰۳۰۳۲۱	Rely X ARC cement		
۶۵ T ۸	Porcelain Etch	Ultradent, South Jordan, USA	Porcelain Etch Hydrofluoric Acid
F۵۰۱۳۳	Ingots of ceramic	Ivoclar Vivadent, Schaan, Liechtenstein	IPS-Empress2
F۶۷۱۶۷			

برشی، یک Jig یا نگهدارنده برای کلیه نمونه‌ها، توسط بخش مهندسی علم و مواد دانشگاه صنعتی شریف تهران ساخته شد. این Jig حاوی حفراتی بود که نمونه‌های سرامیکی را در خود جای می‌داد (شکل ۱).



شکل ۱- نمایی از Jig از پیش طراحی شده نمونه‌های سرامیکی جهت انجام تست برشی

جهت کسب ضخامت لایه‌ای (film thickness) کنترل شده‌ای در حدود تقریبی $5.0 \mu\text{m}$ ، در کلیه نمونه‌ها به طور یکسان، عمل light curing زیر یک وزنه سربی به وزن ۵ کیلوگرم، انجام شد. عمل Photo-polymerization سمان، پس از حذف اضافات، به مدت ۴۰ ثانیه در دو جهت با زاویه ۱۸۰ درجه، توسط دستگاه Blue pass (light cure) کنترل شد و آپادانا تک). شدت خروجی دستگاه Optilux با Optilux کنترل شد و بین $۶۰۰ - ۸۰۰ \text{ mw/cm}^2$ بود. پس از طی مراحل باندینگ، تمامی نمونه‌ها در محیط آبی یک انکوباتور، با درجه حرارت ۳۷ ± ۱ سانتیگراد، به مدت ۲۴ ساعت غوطه‌ور گردیدند. عمل ترموسایکلینگ به تعداد ۵۰۰ سیکل، بین درجه حرارت ۵ و ۵۵ سانتیگراد، با مدت زمان نگهداری یک دقیقه در هر محیط، برای کلیه نمونه‌ها صورت گرفت. برای انجام تست

آماری قرار گرفت.

مقایسه دو به دوی گروه‌ها نیز توسط آزمون Post-hoc Tukey HSD صورت گرفت. $P < 0.05$ به عنوان سطح معنی‌داری در نظر گرفته شد.

یافته‌ها

بیشترین میزان متوسط استحکام باند برشی مربوط به گروه VariolinkII (MPa) بود ($11/87 \pm 3/30/59$). گروه‌های Panavia F2 و Rely X ARC با متوسط میزان استحکام باند برشی، به ترتیب، MPa $14/16 \pm 1/14/95/41$ و $19/75 \pm 1/17/40$ در رده بعدی قرار داشتند.

آنالیز واریانس با ضریب اطمینان ۹۵٪ نشان داد که بین استحکام باند برشی گروه‌های مورد مطالعه، اختلاف آماری معنی‌داری وجود داشت ($P = 0.019$).

مطابق با نتایج آزمون Tukey HSD، نتایج موجود در دو گروه Rely X ARC و Panavia F2 مشابه بود ($P = 0.96$) و با گروه Varionlink II اختلاف معنی‌داری داشت ($P < 0.05$).

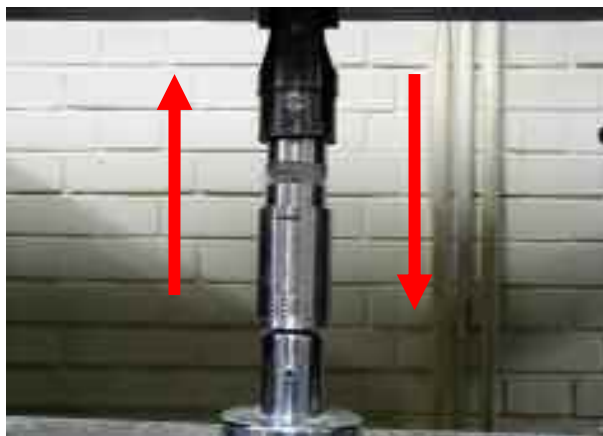
نتایج حاصل از مشاهده میکروسکوپ الکترونی (SEM) به صورت درصد وقوع انواع شکستها از A تا E در جدول ۲ آورده شده است.

بیشترین درصد وقوع شکست cohesive (A,B) در گروه Variolink II (۶۰٪) مشاهده گردید. نمونه‌ای از نمای میکروسکوپی در دو نمونه از این گروه در شکل ۳ نشان داده شده است.

بیشترین درصد وقوع شکست adhesive که همراه با شکست cohesive در سمان رویت شده بود (D) در گروه‌های Panavia F2 و Rely X ARC (۴۰٪) مشاهده گردید. بیشترین حالت شکست موجود در کلیه گروه‌های مورد مطالعه، به صورت ترکیبی از انواع شکستها (E) مشاهده گردید.

تست بررسی Shear Bond Strength در دستگاه Instron (مدل ۱۱۱۵ انگلیس)، با سرعت 0.5 میلیمتر در دقیقه صورت گرفت.

در این تست، loading به صورت تدریجی و به شکل زوج نیروهایی، از دو سمت مقابل، به محل interface سرامیک‌ها، اعمال شد (شکل ۲).



شکل ۲ - Jig سوار شده در دستگاه Instron با اعمال نیرو، به صورت زوج نیروهایی از دو سمت مقابل به محل interface در انتهای کلیه نمونه‌های دباند شده جهت مشاهده میکروسکوپی تحت پوشش طلا (gold coating) قرار گرفته و نوع شکست (failure) توسط میکروسکوپ الکترونی مشاهده گردید. (SEM XXL39 Philips) مطابق با مقالات کوناگون طبقه‌بندی شکستها به صورت زیر انجام شد:

- ۱- شکست cohesive در سرامیک -۲- شکست cohesive در سمان و سرامیک -۳- ترکیبی از شکست cohesive در سرامیک و شکست adhesive -۴- ترکیبی از شکست cohesive در سمان و شکست adhesive در سمان و شکست cohesive در سمان و شکست adhesive -۵- ترکیبی از هر سه شکست cohesive در سمان و سرامیک و adhesive.

یافته‌ها بر حسب مگاپاسکال (MPa) جمع‌آوری شده و پس از ذخیره شدن در بانک اطلاعاتی نرم افزار SPSS، به روش آنالیز واریانس یک طرفه ANOVA مورد تجزیه و تحلیل

جدول ۲- بررسی درصد وقوع انواع شکست پس از انجام تست برشی

نوع شکست						ماده
کل	E	D	C	B	A	
۱۰	۴	۴	۱	۱	۰	تعداد % داخل گروه
%۱۰۰	%۴۰	%۴۰	%۱۰	%۱۰	%۰	Rely X ARC
۱۰	۵	۴	۰	۱	۰	تعداد % داخل گروه
%۱۰۰	%۵۰	%۴۰	%۰	%۱۰	%۰	Panavia F ۲
۱۰	۳	۱	۰	۳	۳	تعداد % داخل گروه
%۱۰۰	%۳۰	%۱۰	%۰	%۳۰	%۳۰	Variolink ۲
۳۰	۱۲	۹	۱	۵	۳	تعداد
%۱۰۰	%۴۰	%۳۰	%۳/۳	%۱۶/۷	%۱۰	% داخل گروه
						کل

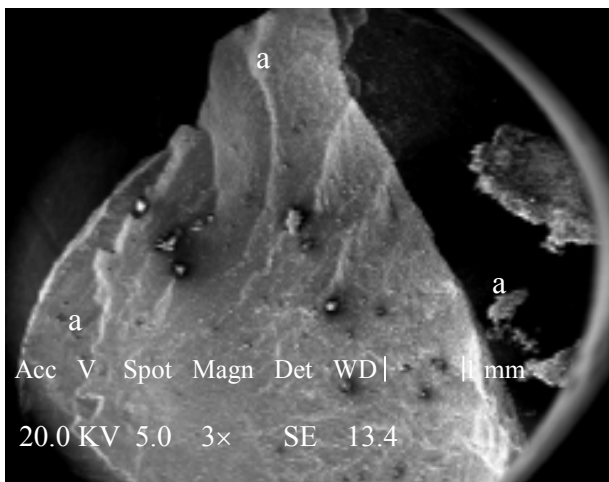
-A شکست cohesive در سرامیک B-شکست cohesive در سمان و سرامیک C-ترکیبی از شکست cohesive در سرامیک و شکست adhesive

-D ترکیبی از شکست cohesive در سمان و شکست adhesive در سمان و سرامیک و adhesive

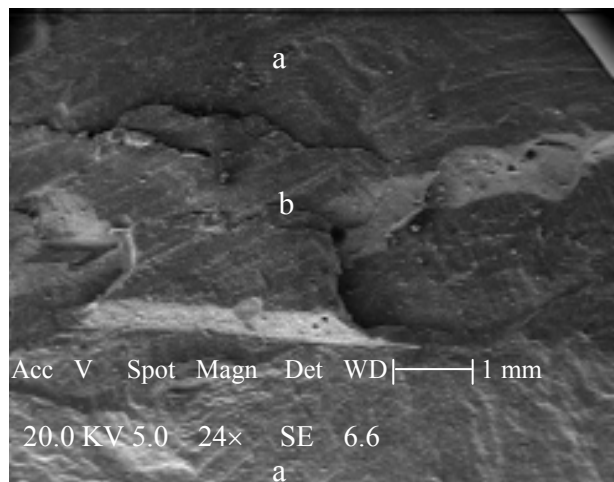
در هین کاربرد سمانهای رزینی فوق است که موجب adhesion سمان و افزایش استحکام باند می‌گردد (۱۲)؛ همچین ترکیب شیمیایی آنها موجب تأمین یک باند مستحکم با سطح سندبلاست و اج شده سرامیک‌های silica-based می‌شود.

بحث و نتیجه‌گیری

مطالعات متعددی بر روی انواع سمانهای رزینی صورت گرفته است. سمانهای انتخابی در مطالعه ما نیز از دسته سمانهایی بود که با توجه به یافته‌های مقالات گوناگون، از لحاظ استحکام باند دارای نتایج بسیار خوبی بودند. یکی از دلایل توجیه این مطلب، مربوط به فرآیند پلیمریزاسیون نوری



ب



الف

شکل ۳ الف- نمای میکروسکوپ الکترونی از نمونه‌ای در گروه Variolink II به صورت ترکیبی از شکست cohesive در سمان و سرامیک. =a سرامیک، =b سمان

شکل ۳ ب- نمای میکروسکوپ الکترونی از نمونه‌ای در گروه Variolink II به صورت شکست cohesive در سرامیک. دیسک کوچک و بزرگ چسبیده به هم در حالی که بخشی از یکی از دیسک‌ها به صورت شکست cohesive از آن جدا شده است.

دست آوردن و سمان Panavia F را با متوسط استحکام باند $10/8 \pm 1/2$ MPa، پس از ترموسایکلینگ، به عنوان ضعیفترین سمان معرفی کردند (۱۲).

طی بررسی Kumbuloglu و همکاران، بیشترین استحکام باند برشی سرامیک‌های فوق، توسط سمان Panavia F برابر $23/2 \pm 7/5$ MPa و کمترین آن توسط سمان Panavia F برابر $4/8 \pm 4/4$ MPa به دست آمد (۱۶).

به طور کلی نتایج موجود در مطالعات اخیر، مطابق با نتایج مطالعه حاضر می‌باشد و اختلافاتی که از نظر جایگاه سمان Panavia F، همچنین بالا بودن ارقام حاصل از مطالعه حاضر نسبت به دو مطالعه اخیر، دیده می‌شود، مربوط به اختلاف روش انجام کار می‌باشد که کاملاً بدیهی است.

به عنوان مثال عدم استفاده از ژل HF در هنگام کاربرد سمان Panavia F در مطالعه Kumbuloglu و همکاران و همچنین اختلاف شرایط نگهداری نمونه‌ها در دو مطالعه اخیر، نسبت به دو مطالعه حاضر، که به صورت ترموسایکلینگ با تعداد سیکلهای بیشتر و مدت زمانهای نگهداری (Dwell Time) کمتر می‌باشد، می‌تواند کاهش استحکام باند حاصل از Panavia F و پائیتر بودن نتایج کلی این مطالعات را توجیه کند؛ ولی به نظر می‌رسد، مهمترین اختلاف در روش انجام کار که به طور طبیعی نتایج را تحت تأثیر قرار داده، مربوط به روش باندینگ نمونه‌ها و روش انجام تست برشی می‌باشد. نوع باندینگ در مطالعات اخیر به صورت باند کامپوزیت به سرامیک و در مطالعه فوق به صورت باند سرامیک به سرامیک بوده است. استفاده از این روش با هدف تأمین ضخامت لایه‌ای (film thickness) تقریبی سمان انجام شد. نتایج موجود نشان داد، سمان‌های فوق در film thickness تقریبی خود، استحکام باند بیشتری را ایجاد می‌کنند، که با دخیل شدن عواملی چون resistance form و retention form در حالت کلینیکی، این استحکام بیشتر

به عنوان مثال، وجود phosphoric-acid در سمان زینی methacrylate باشد قوی از نوع هیدروژنی می‌گردد (۱۲) و یا وجود یک کاتالیست اسیدی در Primer Variolink II سمان Pre-hydrolyzed Rely X ARC، به دلیل افزایش تولید باندهای سیلیکونی، موجبات فراهم شدن یک باند شیمیابی قوی را با سرامیک‌های pressable IPS-Empress2 مانند IPS-Empress2، فراهم می‌کنند (۱۶-۱۳).

در مطالعه حاضر، با توجه به تأثیر مثبت هر سه سمان بر استحکام باند و با توجه به اینکه غالب شکستهای مشاهده شده از نوع Cohesive بود، کمتر می‌توان مستحکم‌تر بودن باند حاصل از سمان Variolink II را نسبت به دو سمان دیگر، به نوع سمان و یا محل interface، مرتبط دانست و به عنوان مثال اثر عامل ترکیب شیمیابی سمان را عامل توجیهی ذکر کرد. در عوض می‌توان به آن سوی قضیه، یعنی نوع سرامیک، به عنوان یک عامل تأثیر گذار بر استحکام باند، متمرکز شد و می‌توان گفت، از آنجا که کارخانه تولید کننده سرامیک‌های IPS-Empress2، سمان Variolink II برای باندینگ این سرامیک‌ها، پیشنهاد کرده است، در نتیجه قابل پیش‌بینی است که باند خوبی توسط این سمان حاصل شود که نتایج حاصل از مطالعه حاضر نیز این مطلب را تأیید می‌کند. البته دو سمان F2 Panavia و Rely X ARC هم استحکام باند پایینی را با سرامیک‌های IPS-Empress2 نشان دادند. در بررسی حاضر به قصد روشن شدن این مطلب، از آنها استفاده شد؛ ولی نتایج حاصل از مشاهده میکروسکوپی نشان داد، استحکام باند حاصل از این دو سمان نسبت به استحکام سرامیک در مقام پائیتری قرار دارد.

در مطالعه مشابهی، Piwowarczyk و همکاران، بیشترین استحکام باند برشی سرامیک‌های IPS-Empress2 را توسط سمان Variolink II برابر $17/2 \pm 5/2$ MPa به

سرامیکی از جنس IPS-Empress2، نسبت به دو سمان دیگر، می‌باشد.

در مطالعه حاضر، تنها باند میان سرامیک و سمان، مورد بررسی قرار گرفت. پیشنهاد می‌شود، برای اطمینان بیشتر در انتخاب سمان Variolink II در باندینگ ترمیم‌های تمام سرامیکی، مطالعات کاملتری در ارتباط با استحکام باند میان سمان و دندان، به خصوص به صورت کلینیکی انجام شود. هرچند که این مطالعات به صورت محدود موجود بوده و آنها نیز سمان Variolink II را پیشنهاد می‌نمایند؛ ولی به نظر می‌رسد، تحقیق و بررسیهای بیشتر مورد نیاز می‌باشد.

تشکر و قدردانی

این مقاله نتیجه طرح تحقیقاتی مصوب دانشگاه علوم پزشکی و خدمات بهداشتی، درمانی تهران به شماره قرارداد ۲۶۷۸ می‌باشد که بدین وسیله قدردانی می‌گردد؛ در ضمن از آقای دکتر خرازی فرد که در زمینه آنالیز آماری یاریگر این کار بودند نیز تشکر می‌گردد.

شده و استرس‌های حرارتی بیشتر، در طی زمان، به میزان کمتری می‌تواند، استحکام باندینگ سرامیک‌ها را تحت تأثیر قرار دهد.

تست برشی انجام شده در مطالعات اخیر، به صورت اعمال نیرو توسط یک تیغه به محل interface بوده است؛ در حالی که در مطالعه حاضر به صورت یک زوج نیرو، از دو سوی مخالف به محل interface، توسط یک Jig از پیش طراحی شده، اعمال شد که به این ترتیب تحمل نمونه‌های سرامیک و در نتیجه نتایج حاصل از استحکام باند برشی را تحت تأثیر قرار می‌دهد. استفاده از این روش با هدف افزایش دقت اعمال نیرو به محل interface و همچنین فراهم ساختن شرایطی با شباهت بیشتر به نیروهای برشی موجود در محیط دهان، در حین حرکات مختلف فکی، انجام شد.

با وجود بالا بودن میانگین استحکام باند برشی بین سرامیک‌های IPS-Empress2 و هر سه سمان مورد مطالعه، نوع شکست مشاهده شده در مطالعه میکروسکوپی (۶۰٪)، نشان می‌دهد که سمان Variolink II، انتخاب بهتری برای باندینگ هر چه مستحکم‌تر ترمیم‌های تمام

منابع:

- 1- Kamada K, Yoshida K, Atsuta M. Early bond strength and durability of bond between a ceramic material and chemically-cured or dual-cured resin luting agent. Am J Dent 2001; 14: 85-88.
- 2- Kato H, Matsumura H, Ide T, Atsuta M. Improved bonding of adhesive resin to sintered porcelain with the combination of acid etching and a two- liquid silane conditioner. J Oral Rehabil 2001; 28: 102-8.
- 3- Braga RR, Ballester RY, Carrilho MRO. Pilot study on the early shear strength of porcelain-dentin bonding using dual-cure cements. J Prosthet Dent 1999; 81: 285-9.
- 4- Braga RR, Ballester RY, Daronch M. Influence of time and adhesive system on the extrusion shear strength between feldspathic porcelain and bovin dentin. Dent Mater 2000; 16(4): 303-10.
- 5- Groten M, Probster L. The influence of different cementation modes on the fracture resistance of feldspathic ceramic crowns. Int J Prosthodont 1997; 10: 169-77.
- 6- Eden GT, Kaztez JM. Dicor crown strength improvement due to bonding . J Dent Res 1987; 66: 207-11.
- 7- Jensen ME, Sheth JJ, Tolliver D. Etched porcelain resin bond full veneer crowns: In-vitro fracture resistance. Compend Contin Educ Dent 1989; 10: 336-346.
- 8- Sorensen JA, Kang SK, Avera SP. Porcelain- composite interface microleakage with various porcelain surface treatments. Dent Mater 1991; 7: 118-123.
- 9- Burke FJT. The effect of variations in bonding procedure on the fracture of dentin-bonded all-ceramic crowns. Quintessence Int 1995; 26: 293-300.

- 10- Markus DB, Sadan A, Kern M. Bonding to silica-based ceramics; clinical and laboratory guidelines. *QDT* 2002; 25: 54-62.
- 11- Della Bona A, Van Noort R. Shear vs. Tensile bond strength of resin composite bonded to ceramic. *J Dent Res* 1995 sep; 74(9):1591-6
- 12- Piwowarczyk A, Lauer HC, Sorensen JA. In vitro shear bond strength of cementing agents to fixed prosthodontics restorative materials. *J Prosthet Dent* 2004; 92: 265-73.
- 13- Barghi N. To silanate or not to silanate: Making a clinical decision. *Compend Contin Educ Dent* 2000; 21: 659-664
- 14- Söderholm KJM, Shang SW. Molecular orientation of silane at the surface of colloidal silica. *J Dent Res* 1993; 72: 1050-54.
- 15- Moriikawa T, Matsumura H, Atsuta M. Bonding of a mica-based castable ceramic material with a tri-N-butylborane-initiated adhesive resin. *J Oral Rehabil* 1996; 23: 450-5.
- 16- Kumbuloglu O, Lassila LVJ, User A, Toksavul S. Shear bond strength of composite resin cements to lithium disilicate ceramics. *J Oral Rehabil* 2005; 32 (2): 128-33.